

Abbildung 19.12
Rekonstruierte Relativzahl der Sonnenfleckenaktivität der letzten 2000 Jahre (Dekadenmittel nach Solanki).

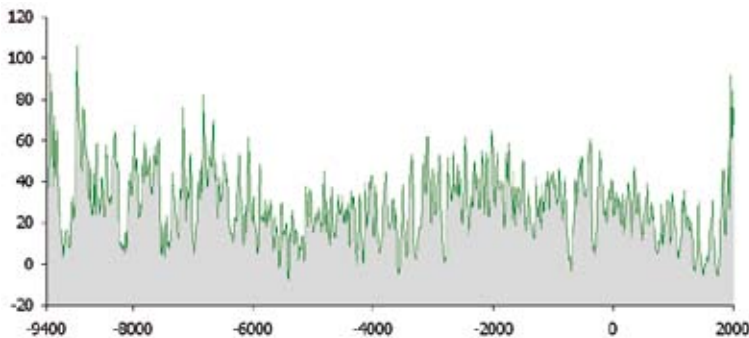


Abbildung 19.13
Rekonstruierte Relativzahl der Sonnenfleckenaktivität der letzten 11 400 Jahre (Dekadenmittel nach Solanki).

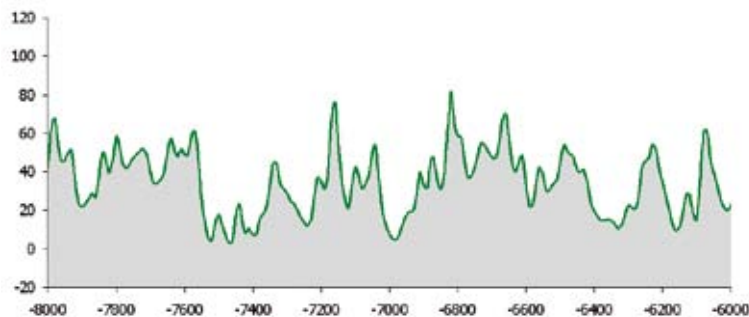


Abbildung 19.14
Rekonstruierte Relativzahl der Sonnenfleckenaktivität im Zeitraum von -8000 bis -6000 (Dekadenmittel nach Solanki).

Zur Überprüfung der 210- und 800-jährigen Periode soll ein beliebiger Zeitraum aus der Vergangenheit betrachtet werden (→ Abbildung 19.14). In der Zeit von -7470 bis -6160 lassen sich sechs Zyklen mit einer mittleren Periode von 218 Jahren einordnen, wobei die Minima bei -6990 und -6340 besonders prägnant ausfallen.

Werfen wir noch einmal einen Blick auf die Abbildung 19.13: Es ist zu erkennen, dass das Moderne Maximum ($R=91.7$) höher liegt als das Maximum von -6820 ($R=81.8$). Es liegt gleich hoch mit dem Maximum von -9370

($R=92.5$) und wird nur vom historischen Maximum von -8930 ($R=105.8$) übertroffen. Die Sonnenbeobachter des letzten halben Jahrhunderts wurden also besonders verwöhnt. Nun scheint wieder Normalzustand einzutreten.

Systematische Erfassung | Trotzdem bietet die Sonnenfleckenbeobachtung für den Amateur noch den besonderen Reiz, für anhaltende Beschäftigung in der warmen Stube zu sorgen, auch wenn es stürmt und schneit. Die sorgfältig gemachten Zeichnungen lassen sich vielseitig auswerten, wobei der Umfang be-